

Санкт-Петербургский политехнический университет
Петра Великого

Физико-механический институт
Высшая школа прикладной математики и физики

Отчёт
по лабораторным работам №1-4
по дисциплине
«Математическая статистика»

Выполнила студентка:
Зинякова Екатерина
Группа: 5030102/00201
Проверил:
к.ф.-м.н., доцент
Баженов Александр Николаевич

Санкт-Петербург
2023

Содержание

1	Постановка задачи	4
2	Теория	5
2.1	Рассматриваемые распределения	5
2.2	Гистограмма	5
2.2.1	Построение гистограммы	5
2.3	Вариационный ряд	5
2.4	Выборочные числовые характеристики	6
2.4.1	Характеристики положения	6
2.4.2	Характеристики рассеяния	6
2.5	Боксплот Тьюки	6
2.5.1	Построение	6
2.6	Теоретическая вероятность выбросов	7
2.7	Эмпирическая функция распределения	7
2.7.1	Статистический ряд	7
2.7.2	Эмпирическая функция распределения	7
2.7.3	Нахождение э. ф. р.	7
2.8	Оценки плотности вероятности	8
2.8.1	Определение	8
2.8.2	Ядерные оценки	8
3	Реализация	8
4	Результаты	9
4.1	Гистограмма и график плотности распределения	9
4.2	Характеристики положения и рассеяния	11
4.3	Боксплот Тьюки	18
4.4	Доля выбросов	21
4.5	Теоретическая вероятность выбросов	21
4.6	Эмпирическая функция распределения	21
4.7	Ядерные оценки плотности распределения	23
5	Обсуждение	28
5.1	Гистограмма и график плотности распределения	28
5.2	Характеристики положения и рассеяния	28
5.3	Доля и теоретическая вероятность выбросов	28
5.4	Эмпирическая функция и ядерные оценки плотности распределения	29
6	Ссылка на репозиторий	29
	Список литературы	30

Список иллюстраций

1	Нормальное распределение.	9
2	Распределение Коши.	9
3	Распределение Лапласс.	10
4	Распределение Пуассона.	10
5	Равномерное распределение.	10
6	Нормальное распределение.	18
7	Распределение Коши.	19
8	Распределение Лапласа.	19
9	Распределение Пуассона.	20
10	Равномерное распределение.	20
11	Нормальное распределение.	21
12	Распределение Коши.	22
13	Распределение Лапласа.	22
14	Распределение Пуассона.	22
15	Равномерное распределение.	23
16	Нормальное распределение $n = 20$	23
17	Нормальное распределение $n = 60$	23
18	Нормальное распределение $n = 100$	24
19	Распределение Коши $n = 20$	24
20	Распределение Коши $n = 60$	24
21	Распределение Коши $n = 100$	25
22	Распределение Лапласа $n = 20$	25
23	Распределение Лапласа $n = 60$	25
24	Распределение Лапласа $n = 100$	26
25	Распределение Пуассона $n = 20$	26
26	Распределение Пуассона $n = 60$	26
27	Распределение Пуассона $n = 100$	27
28	Равномерное распределение $n = 20$	27
29	Равномерное распределение $n = 60$	27
30	Равномерное распределение $n = 100$	28

Список таблиц

1	Таблица распределения	7
2	Нормальное распределение $n = 10$	11
3	Нормальное распределение $n = 50$	11
4	Нормальное распределение $n = 1000$	12
5	Распределение Коши $n = 10$	12
6	Распределение Коши $n = 50$	13
7	Распределение Коши $n = 1000$	13
8	Распределение Лапласа $n = 10$	14
9	Распределение Лапласа $n = 50$	14
10	Распределение Лапласа $n = 1000$	15
11	Распределение Пуассона $n = 10$	15
12	Распределение Пуассона $n = 50$	16
13	Распределение Пуассона $n = 1000$	16
14	Равномерное распределение $n = 10$	17
15	Равномерное распределение $n = 50$	17
16	Равномерное распределение $n = 1000$	18
17	Экспериментальная доля выбросов.	21
18	Теоретическая вероятность выбросов.	21

1 Постановка задачи

Для 5 распределений:

- Нормальное распределение $N(x, 0, 1)$
- Распределение Коши $C(x, 0, 1)$
- Распределение Лапласа $L(x, 0, \frac{1}{\sqrt{2}})$
- Распределение Пуассона $P(k, 10)$
- Равномерное распределение $U(x, -\sqrt{3}, \sqrt{3})$

1. Сгенерировать выборки размером 10, 50 и 1000 элементов.
Построить на одном рисунке гистограмму и график плотности распределения.
2. Сгенерировать выборки размером 10, 100 и 1000 элементов.
Для каждой выборки вычислить следующие статистические характеристики положения данных: \bar{x} , $med\,x$, z_R , z_Q , z_{tr} . Повторить такие вычисления 1000 раз для каждой выборки и найти среднее характеристик положения и их квадратов:

$$E(z) = \bar{z} \quad (1)$$

Вычислить оценку дисперсии по формуле:

$$D(z) = \bar{z^2} - \bar{z}^2 \quad (2)$$

Представить полученные данные в виде таблиц.

3. Сгенерировать выборки размером 20 и 100 элементов.
Построить для них боксплот Тьюки.
Для каждого распределения определить долю выбросов экспериментально (сгенерировав выборку, соответствующую распределению, 1000 раз и вычислив среднюю долю выбросов) и сравнить с результатами, полученными теоретически.
4. Сгенерировать выборки размером 20, 60 и 100 элементов.
Построить на них эмпирические функции распределения и ядерные оценки плотности распределения на отрезке $[-4; 4]$ для непрерывных распределений и на отрезке $[6; 14]$ для распределения Пуассона.

2 Теория

2.1 Рассматриваемые распределения

Плотности:

- Нормальное распределение

$$N(x, 0, 1) = \frac{1}{\sqrt{2\pi}} e^{-\frac{x^2}{2}} \quad (3)$$

- Распределение Коши

$$C(x, 0, 1) = \frac{1}{\pi} \frac{1}{x^2 + 1} \quad (4)$$

- Распределение Лапласа

$$L(x, 0, \frac{1}{\sqrt{2}}) = \frac{1}{\sqrt{2}} e^{-\sqrt{2}|x|} \quad (5)$$

- Распределение Пуассона

$$P(k, 10) = \frac{10^k}{k!} e^{-10} \quad (6)$$

- Равномерное распределение

$$U(x, -\sqrt{3}, \sqrt{3}) = \begin{cases} \frac{1}{2\sqrt{3}} & \text{при } |x| \leq \sqrt{3} \\ 0 & \text{при } |x| > \sqrt{3} \end{cases} \quad (7)$$

2.2 Гистограмма

2.2.1 Построение гистограммы

Множество значений, которое может принимать элемент выборки, разбивается на несколько интервалов. Чаще всего эти интервалы берут одинаковыми, но это не является строгим требованием. Эти интервалы откладываются на горизонтальной оси, затем над каждым рисуется прямоугольник. Если все интервалы были одинаковыми, то высота каждого прямоугольника пропорциональна числу элементов выборки, попадающих в соответствующий интервал. Если интервалы разные, то высота прямоугольника выбирается таким образом, чтобы его площадь была пропорциональна числу элементов выборки, которые попали в этот интервал [1].

2.3 Вариационный ряд

Вариационным ряд - последовательность элементов выборки, расположенных в неубывающем порядке. Одинаковые элементы повторяются [2, с. 409].

2.4 Выборочные числовые характеристики

2.4.1 Характеристики положения

- Выборочное среднее

$$\bar{x} = \frac{1}{n} \sum_{i=1}^n x_i \quad (8)$$

- Выборочная медиана

$$\text{med } x = \begin{cases} x_{(l+1)} & \text{при } n = 2l + 1 \\ \frac{x_{(l)} + x_{(l+1)}}{2} & \text{при } n = 2l \end{cases} \quad (9)$$

- Полусумма экстремальных выборочных элементов

$$z_R = \frac{x_{(1)} + x_{(n)}}{2} \quad (10)$$

- Полусумма квартилей

Выборочная квартиль z_p порядка p определяется формулой

$$z_p = \begin{cases} x_{([np]+1)} & \text{при } np \text{ дробном,} \\ x_{(np)} & \text{при } np \text{ целом.} \end{cases} \quad (11)$$

Полусумма квартилей

$$z_Q = \frac{z_{1/4} + z_{3/4}}{2} \quad (12)$$

- Усечённое среднее

$$z_{tr} = \frac{1}{n - 2r} \sum_{i=r+1}^{n-r} x_{(i)}, \quad r \approx \frac{n}{4} \quad (13)$$

2.4.2 Характеристики рассеяния

Выборочная дисперсия

$$D = \frac{1}{n} \sum_{i=1}^n (x_i - \bar{x})^2 \quad (14)$$

2.5 Боксплот Тьюки

2.5.1 Построение

Границами ящика — первый и третий квартили, линия в середине ящика — медиана. Концы усов — края статистически значимой выборки (без выбросов). Длина «усов»:

$$X_1 = Q_1 - \frac{3}{2}(Q_3 - Q_1), \quad X_2 = Q_3 + \frac{3}{2}(Q_3 - Q_1) \quad (15)$$

где X_1 — нижняя граница уса, X_2 — верхняя граница уса, Q_1 — первый квартиль, Q_3 — третий квартиль.

Данные, выходящие за границы усов (выбросы), отображаются на графике в виде маленьких кружков [3].

2.6 Теоретическая вероятность выбросов

Выбросы — величины x :

$$\begin{cases} x < X_1^T \\ x > X_2^T \end{cases} \quad (16)$$

Теоретическая вероятность выбросов:

- для непрерывных распределений

$$P_B^T = P(x < X_1^T) + P(x > X_2^T) = F(X_1^T) + (1 - F(X_2^T)). \quad (17)$$

- для дискретных распределений

$$P_B^T = P(x < X_1^T) + P(x > X_2^T) = (F(X_1^T) - P(x = X_1^T)) + (1 - F(X_2^T)). \quad (18)$$

Выше $F(x) = P(x \leq X)$ — функция распределения.

2.7 Эмпирическая функция распределения

2.7.1 Статистический ряд

Статистическим ряд — последовательность различных элементов выборки z_1, z_2, \dots, z_k , расположенных в возрастающем порядке с указанием частот n_1, n_2, \dots, n_k , с которыми эти элементы содержатся в выборке. Обычно записывается в виде таблицы.

2.7.2 Эмпирическая функция распределения

Эмпирическая (выборочная) функция распределения (э. ф. р.) — относительная частота события $x < X$, полученная по данной выборке:

$$F_n^*(x) = P^*(X < x). \quad (19)$$

2.7.3 Нахождение э. ф. р.

Для получения относительной частоты $P^*(X < x)$ просуммируем в статистическом ряде, построенном по данной выборке, все частоты n_i , для которых элементы z_i статистического ряда меньше x . Тогда $P^*(X < x) = \frac{1}{n} \sum_{z_i < x} n_i$. Получаем

$$F^*(x) = \frac{1}{n} \sum_{z_i < x} n_i. \quad (20)$$

$F^*(x)$ — функция распределения дискретной случайной величины X^* , заданной таблицей распределения

X^*	z_1	z_2	\dots	z_k
P	$\frac{n_1}{n}$	$\frac{n_2}{n}$	\dots	$\frac{n_k}{n}$

Таблица 1: Таблица распределения

Эмпирическая функция распределения является оценкой, т.е. приближённым значением, генеральной функции распределения

$$F_n^*(x) \approx F_X(x). \quad (21)$$

2.8 Оценки плотности вероятности

2.8.1 Определение

Оценкой плотности вероятности $f(x)$ называется функция $\hat{f}(x)$, построенная на основе выборки, приближённо равная $f(x)$

$$\hat{f}(x) \approx f(x). \quad (22)$$

2.8.2 Ядерные оценки

Представим оценку в виде суммы с числом слагаемых, равным объёму выборки:

$$\hat{f}_n(x) = \frac{1}{nh_n} \sum_{i=1}^n K\left(\frac{x - x_i}{h_n}\right). \quad (23)$$

Здесь функция $K(u)$, называемая ядерной (ядром), непрерывна и является плотностью вероятности, x_1, x_2, \dots, x_n — элементы выборки, h_n — любая последовательность положительных чисел, обладающая свойствами

$$h_n \xrightarrow{n \rightarrow \infty} 0; \quad \frac{h_n}{n^{-1}} \xrightarrow{n \rightarrow \infty} \infty. \quad (24)$$

Гауссово (нормальное) ядро [4, с.38]

$$K(u) = \frac{1}{\sqrt{2\pi}} e^{-\frac{u^2}{2}}. \quad (25)$$

Правило Сильвермана [4, с.44]

$$h_n = 1.06\hat{\sigma}n^{-1/5}, \quad (26)$$

где $\hat{\sigma}$ — выборочное стандартное отклонение.

3 Реализация

Лабораторная работы выполнена на языке программирования Python в среде разработки PyCharm с использованием встроенных библиотек (numpy, statsmodels, matplotlib, scipy, seaborn)

4 Результаты

4.1 Гистограмма и график плотности распределения

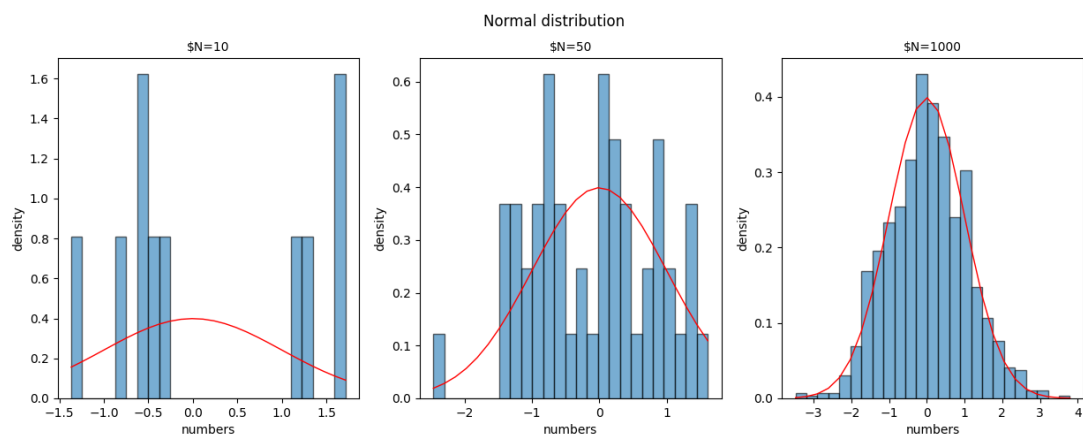


Рис. 1: Нормальное распределение.

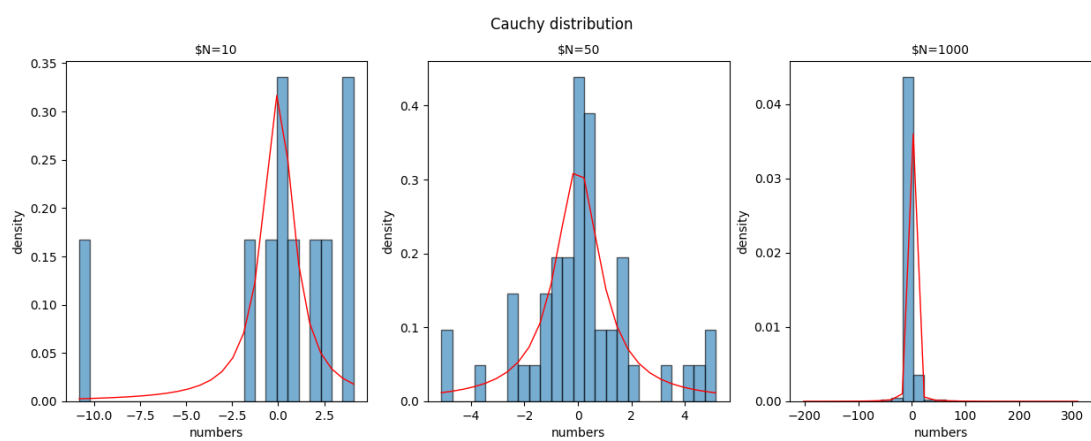


Рис. 2: Распределение Коши.

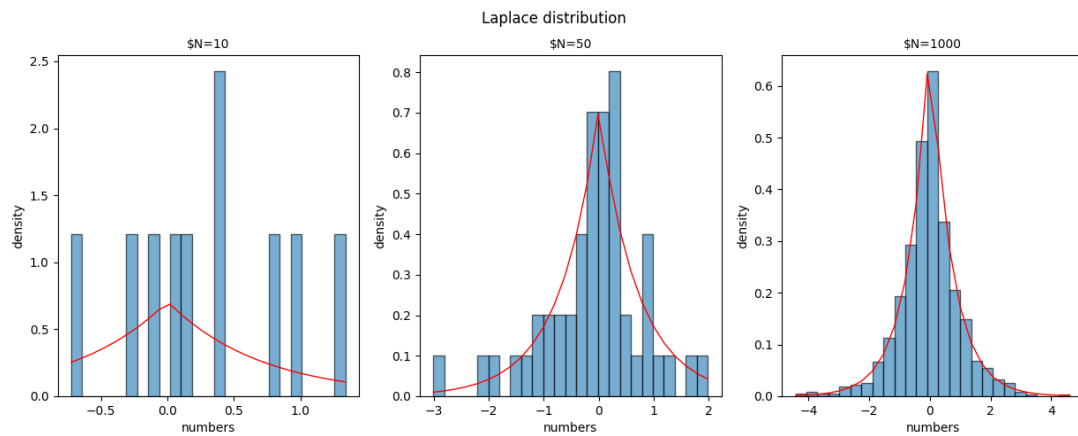


Рис. 3: Распределение Лапласа.

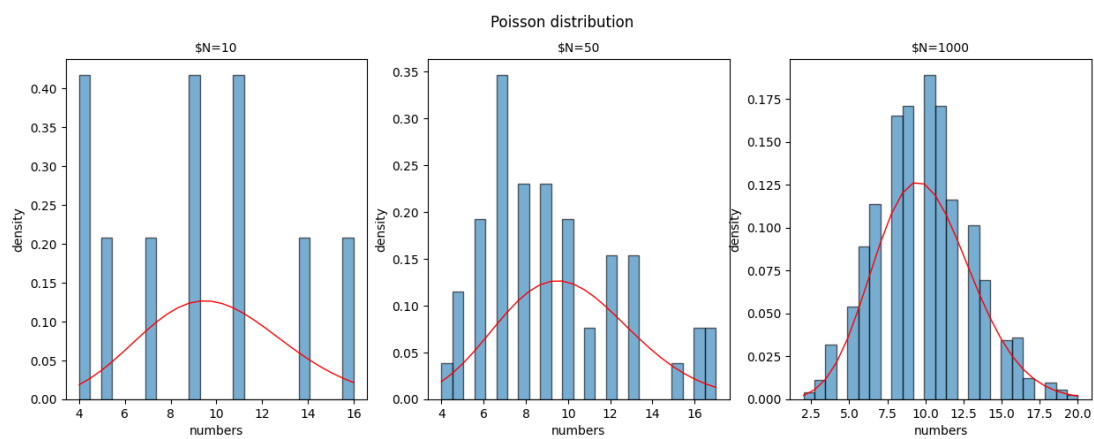


Рис. 4: Распределение Пуассона.

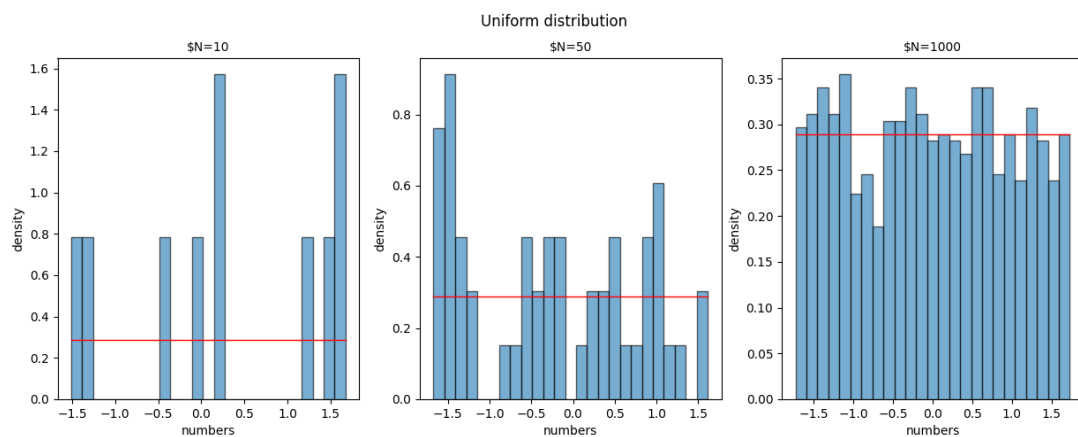


Рис. 5: Равномерное распределение.

4.2 Характеристики положения и рассеяния

		mediana	z_r	z_Q	z_{tr}
$E(z)$	0.0037	0.0037	-0.0252	0.3285	0.0057
$D(z)$	0.0986	0.0986	0.4767	0.1181	0.1637
$E(x) - \sqrt{D(z)}$	-0.3	-0.3	-0.7	-0.0	-0.4
$E(x) + \sqrt{D(z)}$	0.3	0.3	0.7	0.7	0.4
\hat{E}	0	0	0	0	0

Таблица 2: Нормальное распределение $n = 10$.

		mediana	z_r	z_Q	z_{tr}
$E(z)$	0.0062	0.0062	-0.0134	0.2001	0.0089
$D(z)$	0.0591	0.0591	0.4811	0.0878	0.1008
$E(x) - \sqrt{D(z)}$	-0.2	-0.2	-0.7	-0.1	-0.3
$E(x) + \sqrt{D(z)}$	0.2	0.2	0.7	0.5	0.3
\hat{E}	0	0	0	0	0

Таблица 3: Нормальное распределение $n = 50$.

		mediana	z_r	z_Q	z_{tr}
$E(z)$	0.0044	0.0044	-0.0084	0.1345	0.0057
$D(z)$	0.0397	0.0397	0.4889	0.0676	0.0678
$E(x) - \sqrt{D(z)}$	-0.2	-0.2	-0.7	-0.1	-0.3
$E(x) + \sqrt{D(z)}$	0.2	0.2	0.7	0.4	0.3
\hat{E}	0	0	0	0	0

Таблица 4: Нормальное распределение $n = 1000$.

		mediana	z_r	z_Q	z_{tr}
$E(z)$	0.0527	0.0527	0.3888	0.37	-0.0059
$D(z)$	127.5246	127.5246	525.306	1.101	284.4396
$E(x) - \sqrt{D(z)}$	-11.2	-11.2	-22.5	-0.7	-16.9
$E(x) + \sqrt{D(z)}$	11.3	11.3	23.3	1.4	16.9
\hat{E}	0	0	0	0	0

Таблица 5: Распределение Коши $n = 10$.

		mediana	z_r	z_Q	z_tr
$E(z)$	-0.0329	-0.0329	0.205	0.321	-0.0169
$D(z)$	166.5072	166.5072	470.1801	0.9172	381.4318
$E(x) - \sqrt{D(z)}$	-12.9	-12.9	-21.5	-0.6	-19.5
$E(x) + \sqrt{D(z)}$	12.9	12.9	21.9	1.3	19.5
\hat{E}	0	0	0	0	0

Таблица 6: Распределение Коши $n = 50$.

		mediana	z_r	z_Q	z_tr
$E(z)$	-0.3774	-0.3774	0.2287	0.2674	-0.5284
$D(z)$	963.3607	963.3607	444.0822	0.7795	3179.8948
$E(x) - \sqrt{D(z)}$	-31.4	-31.4	-20.8	-0.6	-56.9
$E(x) + \sqrt{D(z)}$	30.7	30.7	21.3	1.2	55.9
\hat{E}	0	0	0	0	0

Таблица 7: Распределение Коши $n = 1000$.

		mediana	z_r	z_Q	z_tr
$E(z)$	-0.325	-0.325	0.195	0.2707	-0.4549
$D(z)$	825.7687	825.7687	380.7245	0.6859	2725.683
$E(x) - \sqrt{D(z)}$	-29.1	-29.1	-19.3	-0.6	-52.7
$E(x) + \sqrt{D(z)}$	28.4	28.4	19.7	1.1	51.8
\hat{E}	0	0	0	0	0

Таблица 8: Распределение Лапласа $n = 10$.

		mediana	z_r	z_Q	z_tr
$E(z)$	-0.2849	-0.2849	0.1679	0.2427	-0.3968
$D(z)$	722.5613	722.5613	333.2052	0.6081	2385.0007
$E(x) - \sqrt{D(z)}$	-27.2	-27.2	-18.1	-0.5	-49.2
$E(x) + \sqrt{D(z)}$	26.6	26.6	18.4	1.0	48.4
\hat{E}	0	0	0	0	0

Таблица 9: Распределение Лапласа $n = 50$.

		mediana	z_r	z_Q	z_tr
$E(z)$	-0.2531	-0.2531	0.1537	0.216	-0.3525
$D(z)$	642.2849	642.2849	296.2435	0.5463	2120.0166
$E(x) - \sqrt{(D(z))}$	-25.6	-25.6	-17.1	-0.5	-46.4
$E(x) + \sqrt{(D(z))}$	25.1	25.1	17.4	1.0	45.7
\hat{E}	0	0	0	0	0

Таблица 10: Распределение Лапласа $n = 1000$.

		mediana	z_r	z_Q	z_tr
$E(z)$	0.7716	0.7716	1.1405	1.2876	0.6828
$D(z)$	587.6005	587.6005	275.8608	10.9555	1917.8188
$E(x) - \sqrt{(D(z))}$	-23.5	-23.5	-15.5	-2.0	-43.1
$E(x) + \sqrt{(D(z))}$	25.0	25.0	17.7	4.6	44.5
\hat{E}	1	1	1	1	1

Таблица 11: Распределение Пуассона $n = 10$.

		mediana	z_r	z_Q	z_tr
$E(z)$	1.6095	1.6095	1.9448	2.088	1.5286
$D(z)$	541.2231	541.2231	257.6968	16.393	1750.6623
$E(x) - \sqrt{D(z)}$	-21.7	-21.7	-14.1	-2.0	-40.3
$E(x) + \sqrt{D(z)}$	24.9	24.9	18.0	6.1	43.4
\hat{E}	2	2	2	2	2

Таблица 12: Распределение Пуассона $n = 50$.

		mediana	z_r	z_Q	z_tr
$E(z)$	2.3087	2.3087	2.6152	2.7467	2.2342
$D(z)$	501.4984	501.4984	241.5705	19.8	1610.251
$E(x) - \sqrt{D(z)}$	-20.1	-20.1	-12.9	-1.7	-37.9
$E(x) + \sqrt{D(z)}$	24.7	24.7	18.2	7.2	42.4
\hat{E}	2	2	3	3	2

Таблица 13: Распределение Пуассона $n = 1000$.

		mediana	z_r	z_Q	z_tr
$E(z)$	2.1318	2.1318	2.4141	2.5609	2.0633
$D(z)$	463.3047	463.3047	223.5124	18.7007	1486.7485
$E(x) - \sqrt{(D(z))}$	-19.4	-19.4	-12.5	-1.8	-36.5
$E(x) + \sqrt{(D(z))}$	23.7	23.7	17.4	6.9	40.6
\hat{E}	2	2	2	3	2

Таблица 14: Равномерное распределение $n = 10$.

		mediana	z_r	z_Q	z_tr
$E(z)$	1.9804	1.9804	2.2402	2.3837	1.9168
$D(z)$	430.5111	430.5111	207.9772	17.775	1380.8341
$E(x) - \sqrt{(D(z))}$	-18.8	-18.8	-12.2	-1.8	-35.2
$E(x) + \sqrt{(D(z))}$	22.7	22.7	16.7	6.6	39.1
\hat{E}	2	2	2	2	2

Таблица 15: Равномерное распределение $n = 50$.

		mediana	z_r	z_Q	z_{tr}
$E(z)$	1.8484	1.8484	2.0918	2.225	1.789
$D(z)$	402.0542	402.0542	194.4535	16.9428	1289.0071
$E(x) - \sqrt{(D(z))}$	-18.2	-18.2	-11.9	-1.9	-34.1
$E(x) + \sqrt{(D(z))}$	21.9	21.9	16.0	6.3	37.7
\hat{E}	2	2	2	2	2

Таблица 16: Равномерное распределение $n = 1000$.

4.3 Боксплот Тьюки

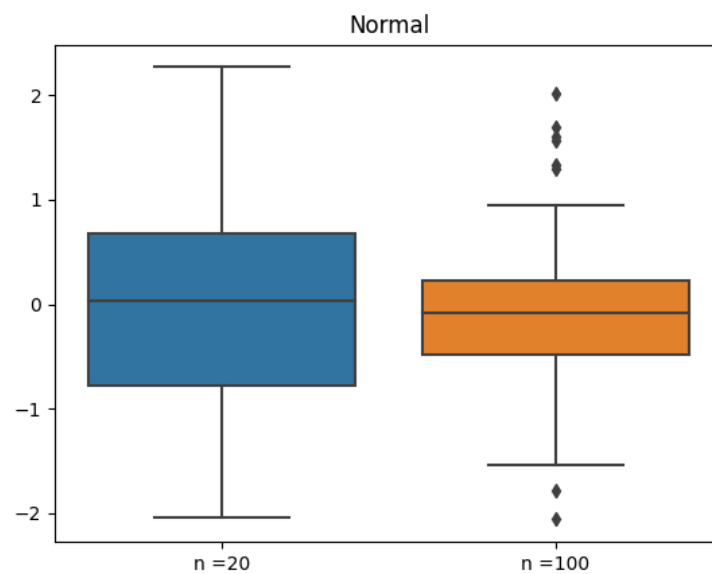


Рис. 6: Нормальное распределение.

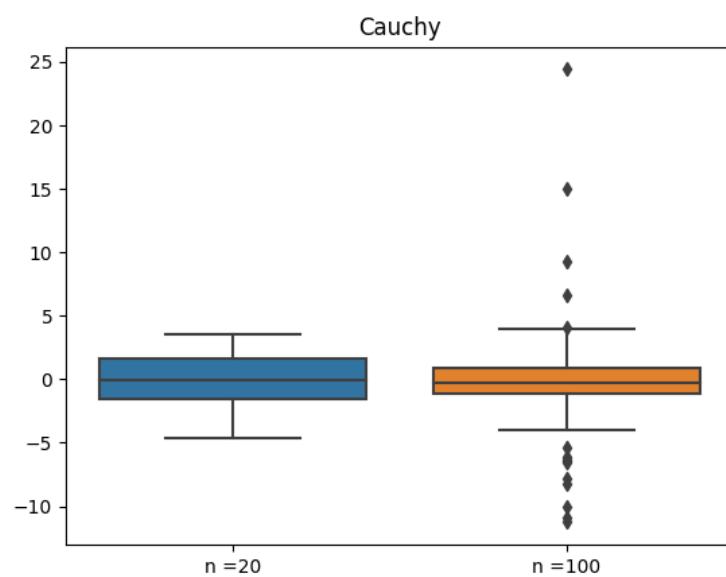


Рис. 7: Распределение Коши.

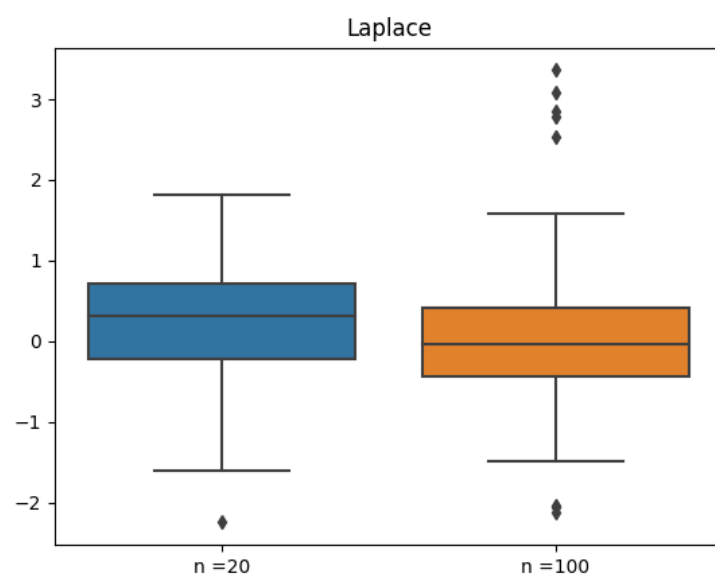


Рис. 8: Распределение Лапласа.

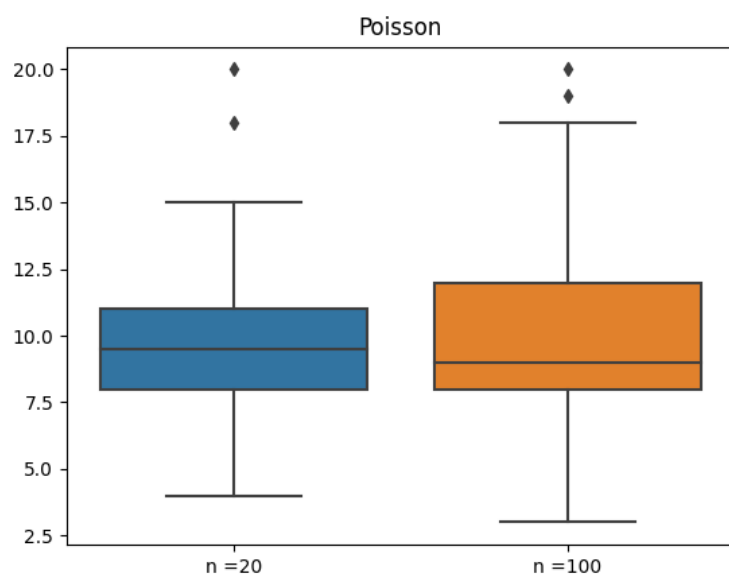


Рис. 9: Распределение Пуассона.

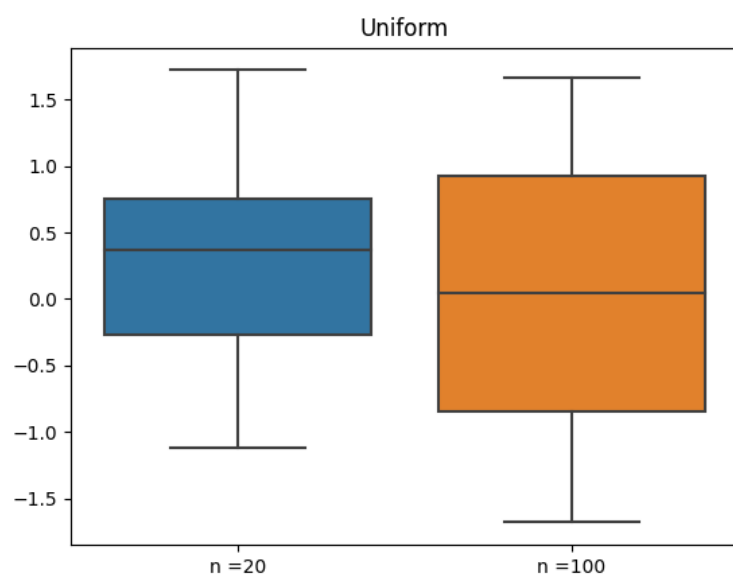


Рис. 10: Равномерное распределение.

4.4 Доля выбросов

Sample	Share of emissions
Normal n = 20	0.109
Normal n = 100	0.096
Cauchy n = 20	0.215
Cauchy n = 100	0.224
Laplace n = 20	0.157
Laplace n = 100	0.158
Poisson n = 20	0.111
Poisson n = 100	0.092
Uniform n = 20	0.052
Uniform n = 100	0.023

Таблица 17: Экспериментальная доля выбросов.

4.5 Теоретическая вероятность выбросов

Распределение	$P_B^T(17), (18)$
Нормальное распределение	0.007
Распределение Коши	0.156
Распределение Лапласа	0.063
Распределение Пуассона	0.008
Равномерное распределение	0

Таблица 18: Теоретическая вероятность выбросов.

4.6 Эмпирическая функция распределения

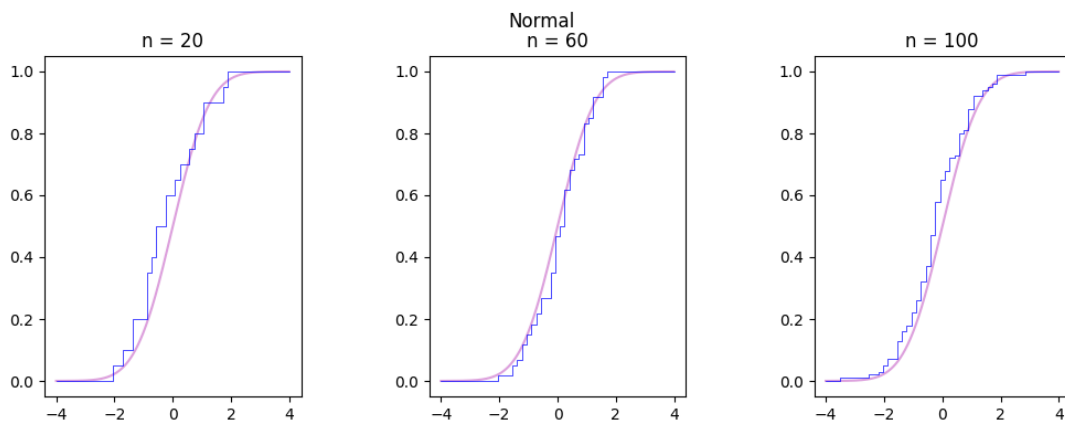


Рис. 11: Нормальное распределение.

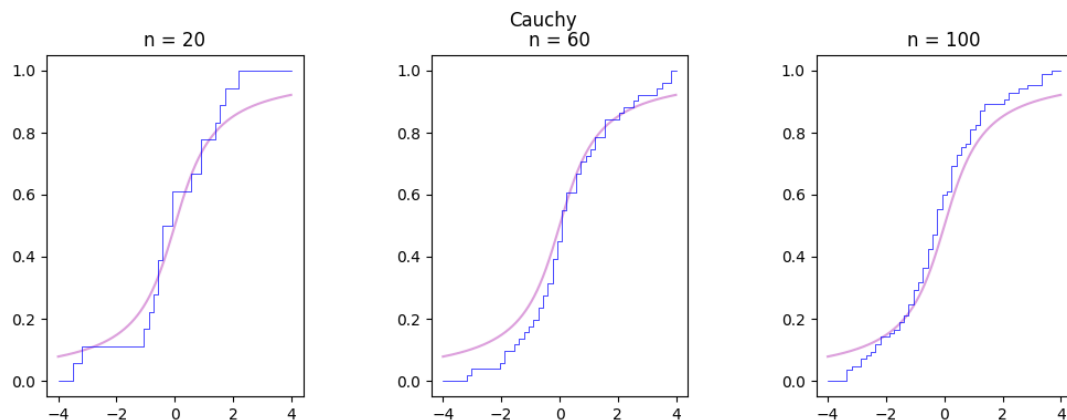


Рис. 12: Распределение Коши.

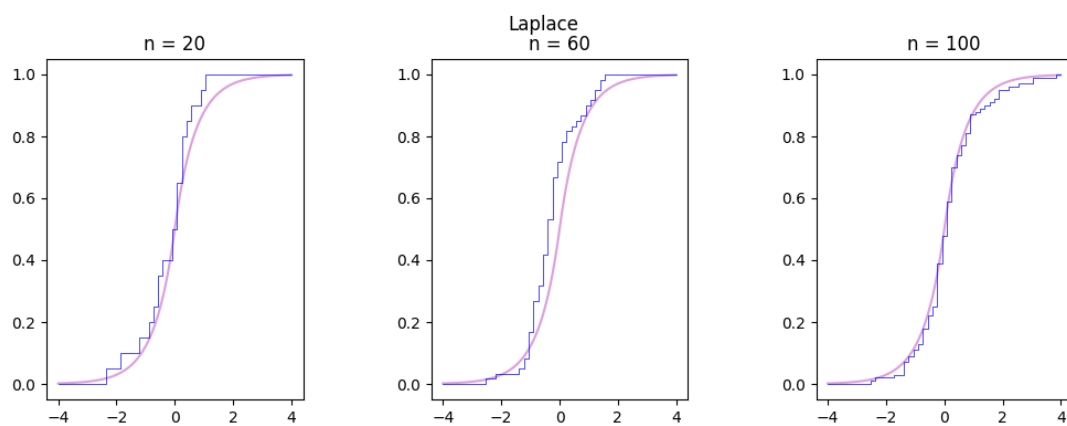


Рис. 13: Распределение Лапласа.

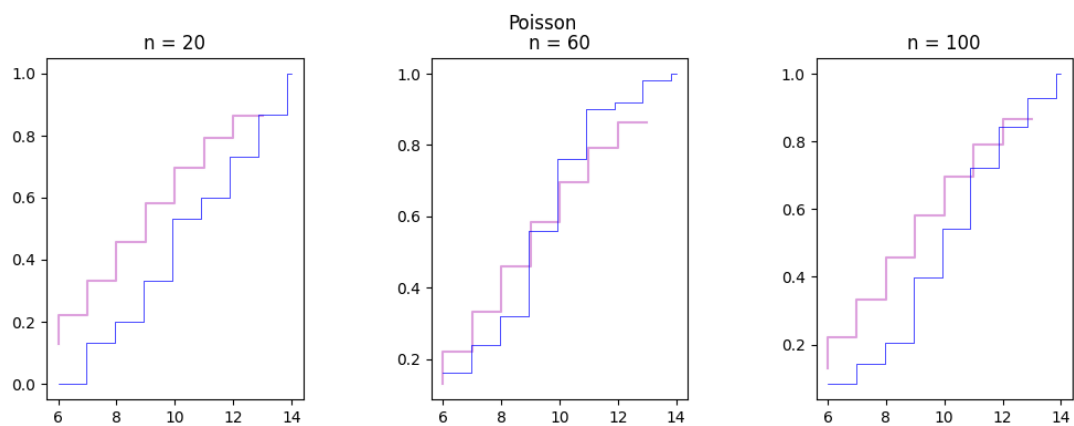


Рис. 14: Распределение Пуассона.

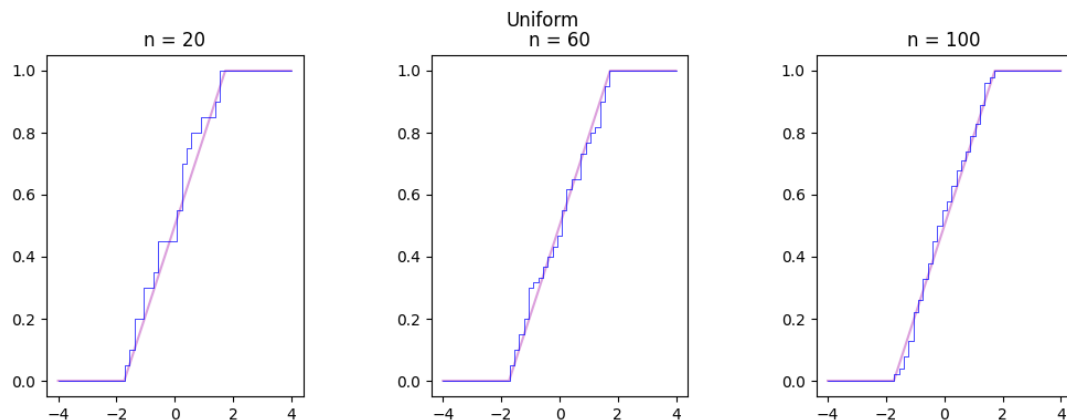


Рис. 15: Равномерное распределение.

4.7 Ядерные оценки плотности распределения

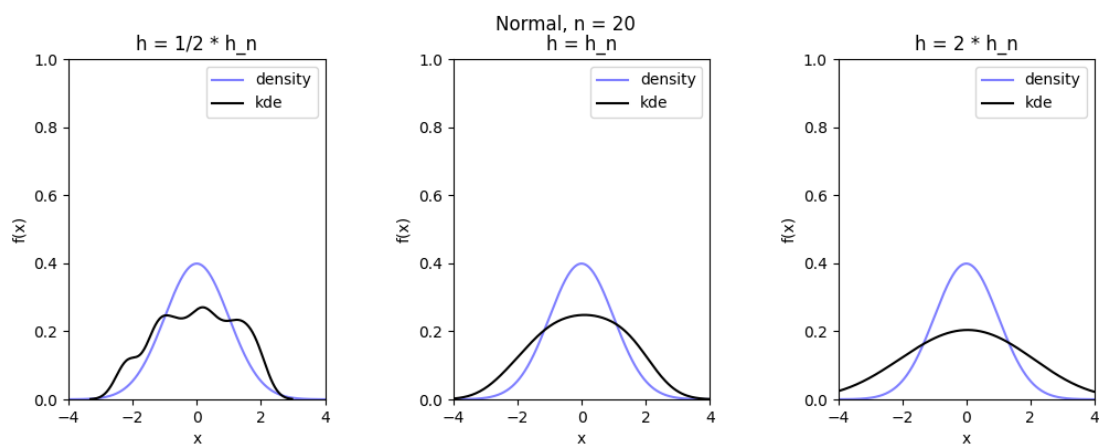


Рис. 16: Нормальное распределение $n = 20$.

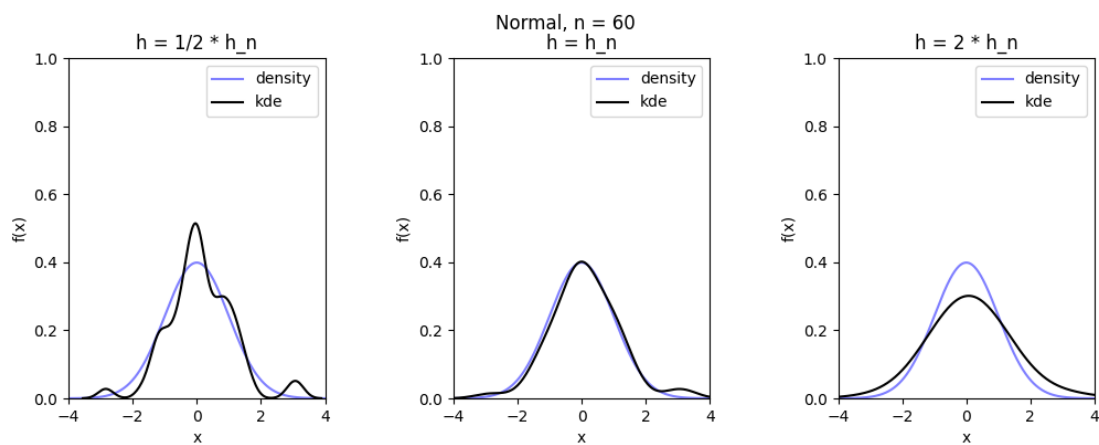


Рис. 17: Нормальное распределение $n = 60$.

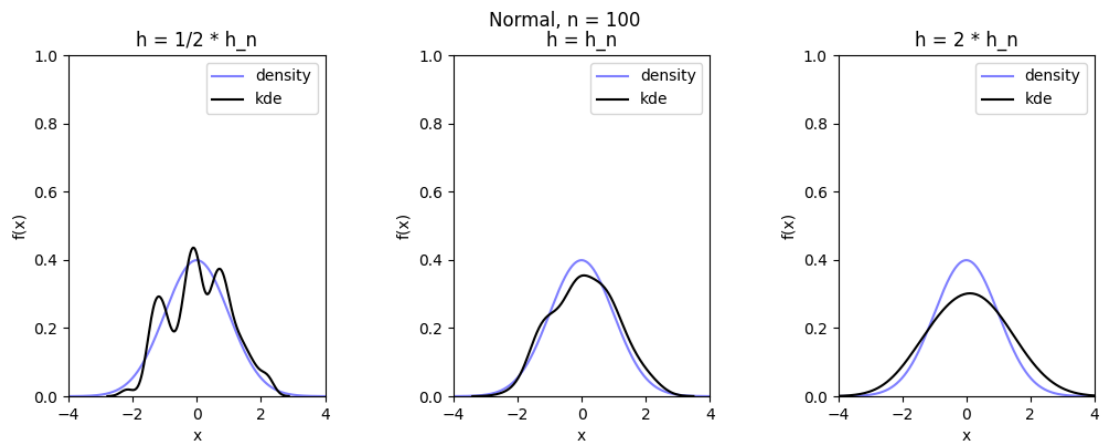


Рис. 18: Нормальное распределение $n = 100$.

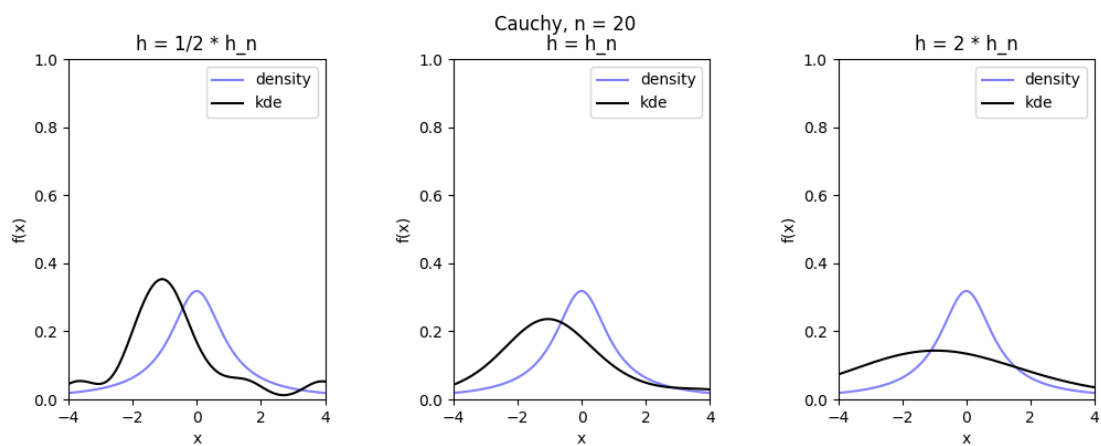


Рис. 19: Распределение Коши $n = 20$.

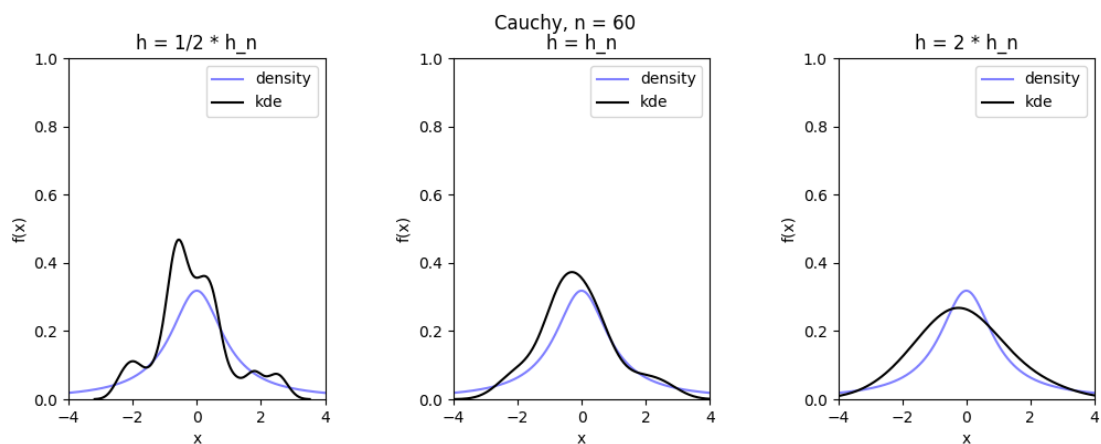


Рис. 20: Распределение Коши $n = 60$.

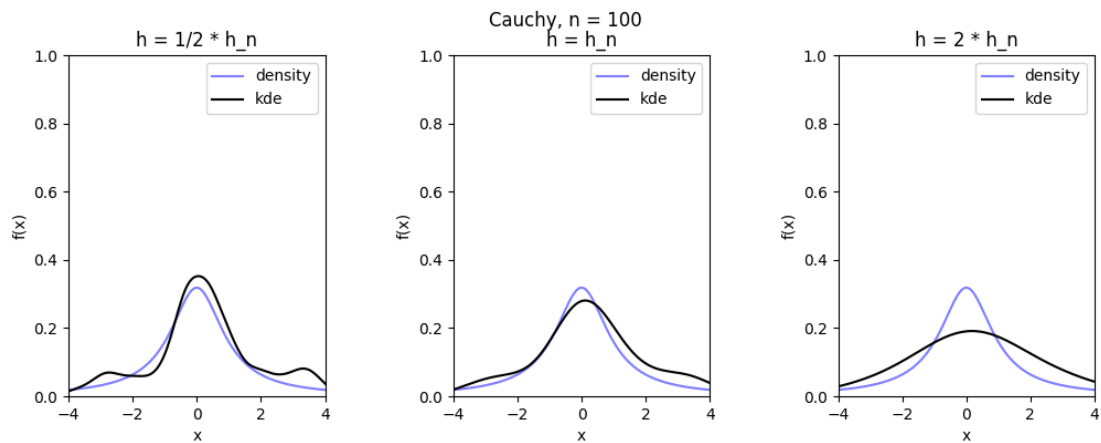


Рис. 21: Распределение Коши $n = 100$.

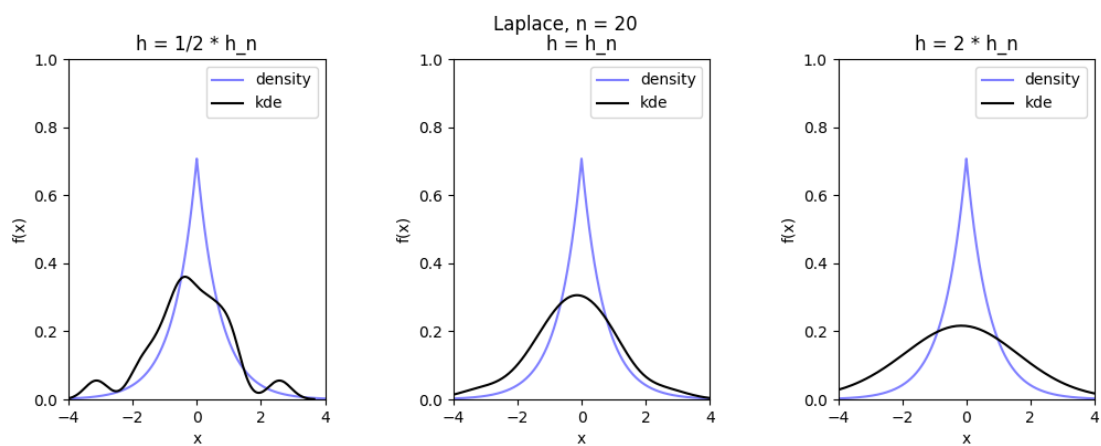


Рис. 22: Распределение Лапласа $n = 20$.

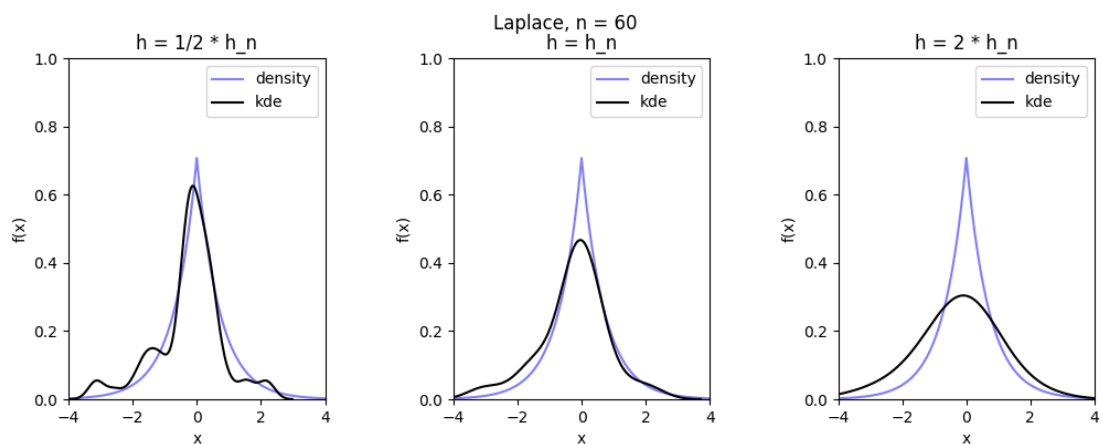


Рис. 23: Распределение Лапласа $n = 60$.

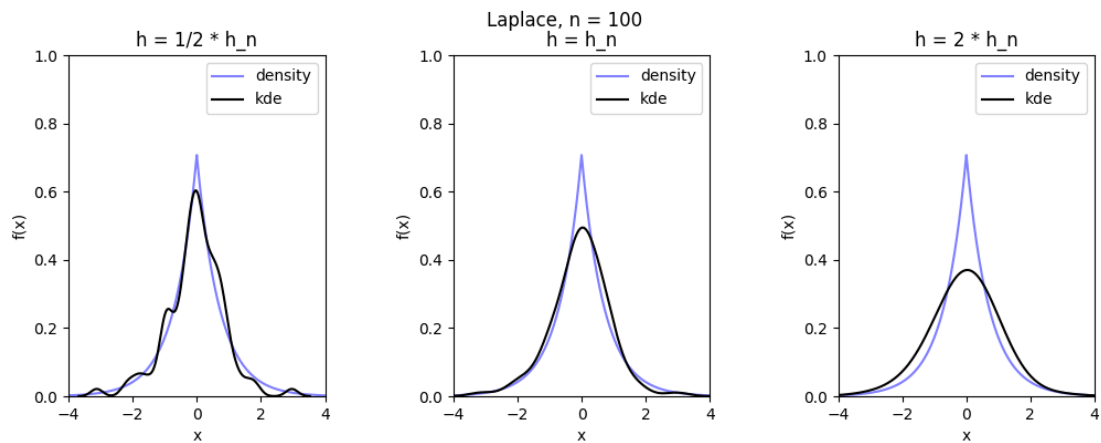


Рис. 24: Распределение Лапласа $n = 100$.

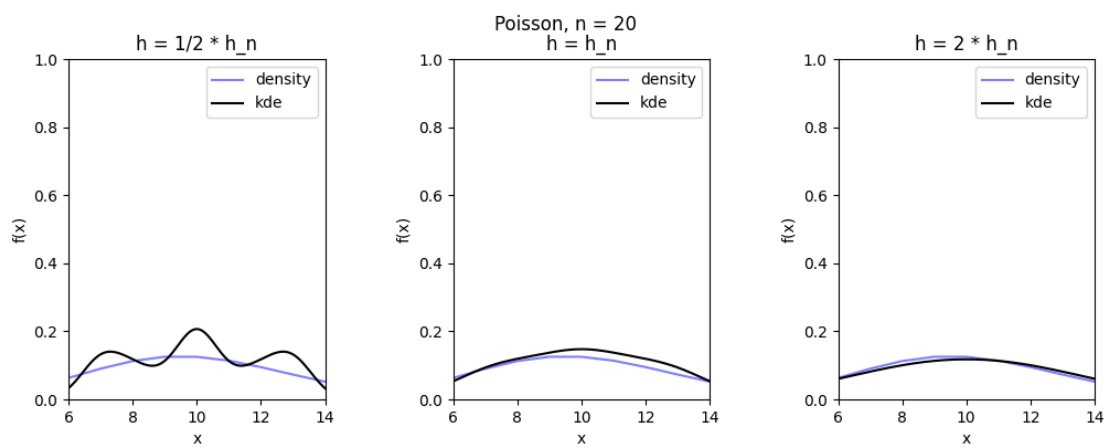


Рис. 25: Распределение Пуассона $n = 20$.

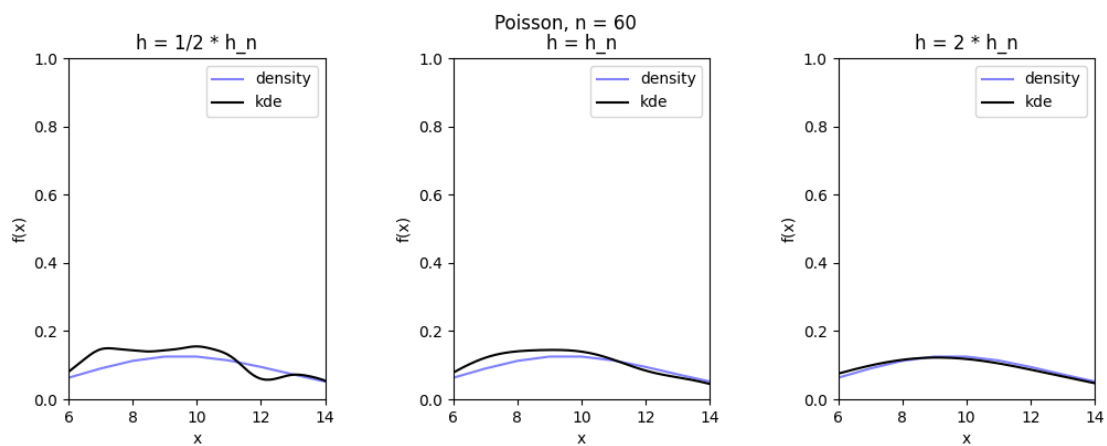


Рис. 26: Распределение Пуассона $n = 60$.

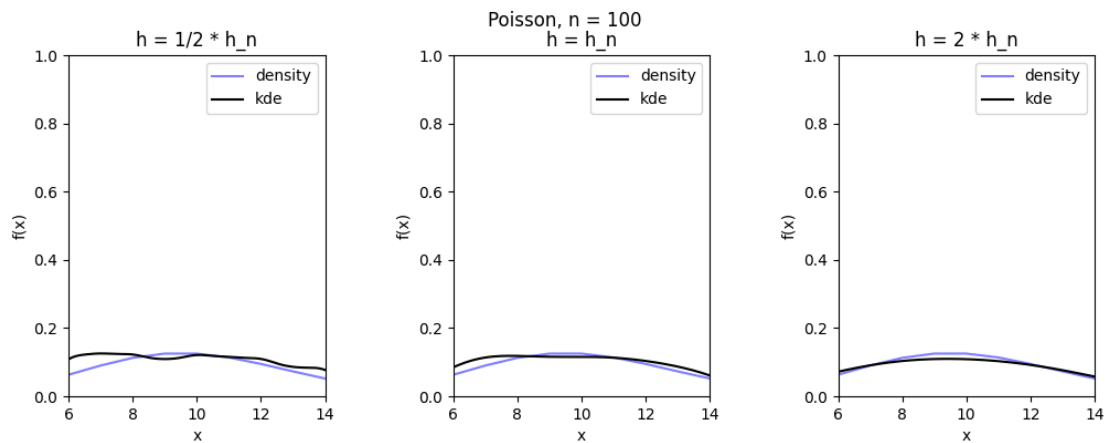


Рис. 27: Распределение Пуассона $n = 100$.

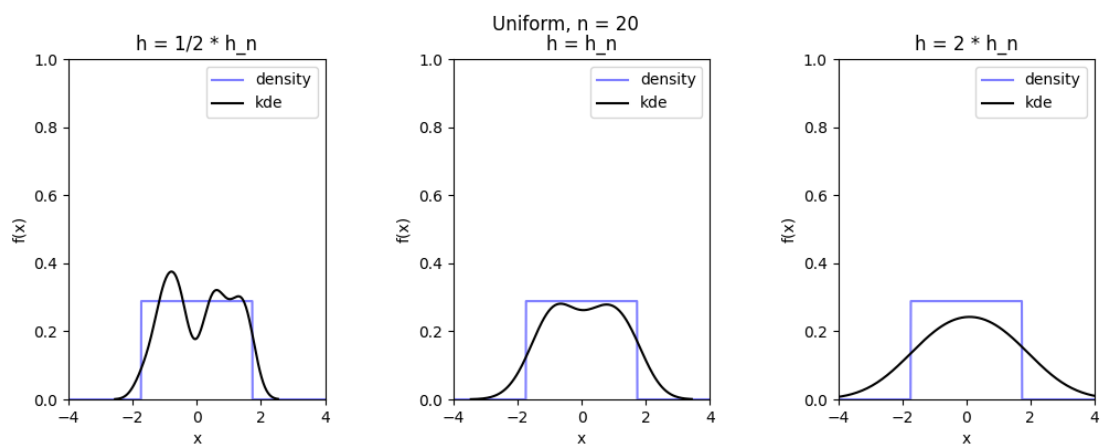


Рис. 28: Равномерное распределение $n = 20$.

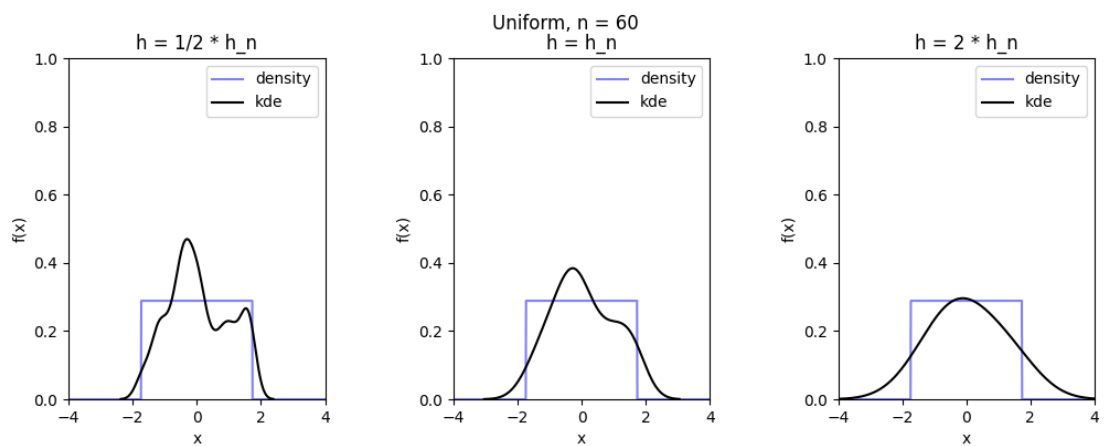


Рис. 29: Равномерное распределение $n = 60$.

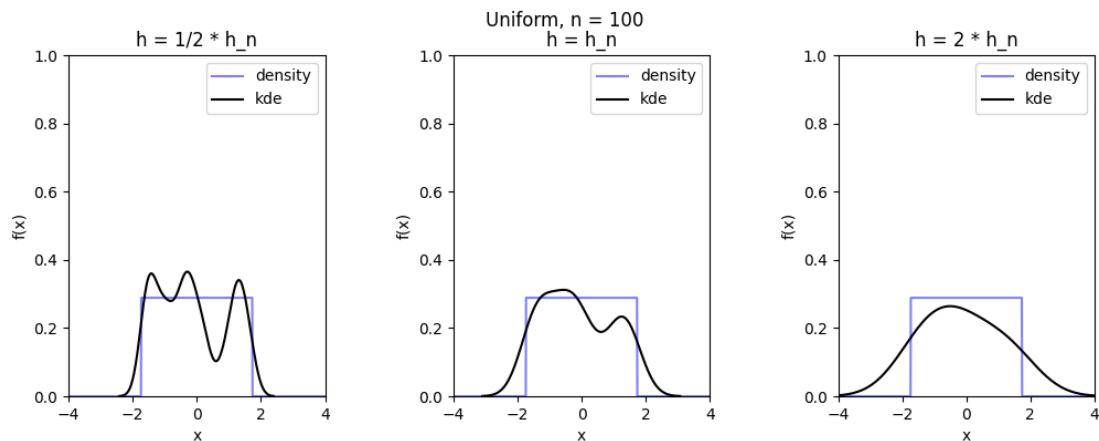


Рис. 30: Равномерное распределение $n = 100$.

5 Обсуждение

5.1 Гистограмма и график плотности распределения

Прodelав лабораторную работу и проанализировов результаты,можем сделать вывод о том, что чем больше выборка для каждого из распределений, тем ближе ее гистограмма к графику плотности вероятности того закона, по которому распределены величины сгенерированной выборки. Чем меньше выборка, тем менее она показательна — тем хуже по ней определяется характер распределения величины.

Также можно заметить, что максимумы гистограмм и плотностей распределения почти нигде не совпали. Также наблюдаются всплески гистограмм, что наиболее хорошо прослеживается на распределении Коши.

5.2 Характеристики положения и рассеяния

Исходя из данных, приведенных в таблицах, можно судить о том, что дисперсия характеристик рассеяния для распределения Коши является некой аномалией: значения слишком большие даже при увеличении размера выборки — понятно, что это результат выбросов, которые мы могли наблюдать в результатах предыдущего задания.

5.3 Доля и теоретическая вероятность выбросов

По данным, приведенным в таблице, можно сказать, что чем больше выборка, тем ближе доля выбросов будет к теоретической оценке. Снова доля выбросов для распределения Коши значительно выше, чем для остальных распределений. Равномерное распределение же в точности повторяет теоретическую оценку - выбросов мы не получали.

Боксплоты Тьюки действительно позволяют более наглядно и с меньшими усилиями оценивать важные характеристики распределений. Так, исходя из полученных рисунков, наглядно видно то, что мы довольно трудоёмко анализировали в предыдущих частях.

5.4 Эмпирическая функция и ядерные оценки плотности распределения

Можем наблюдать на иллюстрациях с э. ф. р., что ступенчатая эмпирическая функция распределения тем лучше приближает функцию распределения реальной выборки, чем мощнее эта выборка. Заметим так же, что для распределения Пуассона и распределения Коши отклонение функций друг от друга наибольшее.

Рисунки, посвященные ядерным оценкам, иллюстрируют сближение ядерной оценки и функции плотности вероятности для всех h с ростом размера выборки. Для распределения Пуассона наиболее ярко видно, как сглаживает отклонения увеличение параметра сглаживания h .

В зависимости от особенностей распределений для их описания лучше подходят разные параметры h в ядерной оценке: для равномерного распределения и распределения Пуассона лучше подойдет параметр $h = 2h_n$, для распределения Лапласа — $h = \frac{h_n}{2}$, а для нормального и Коши — $h = h_n$. Такие значения дают вид ядерной оценки наиболее близкий к плотности, характерной данным распределениям.

Также можно увидеть, что чем больше коэффициент при параметре сглаживания h_n , тем меньше изменений знака производной у аппроксимирующей функции, вплоть до того, что при $h = 2h_n$ функция становится унимодальной на рассматриваемом промежутке. Также видно, что при $h = 2h_n$ по полученным приближениям становится сложно сказать плотность вероятности какого распределения они должны повторять, так как они очень похожи между собой.

6 Ссылка на репозиторий

<https://github.com/Katalien/Mathstatistics>

Список литературы

- [1] Histogram. URL: <https://en.wikipedia.org/wiki/Histogram>.
- [2] Вероятностные разделы математики. Учебник для бакалавров технических направлений. //Под ред. Максимова Ю.Д. — Спб.: «Иван Федоров», 2001. — 592 с., илл.
- [3] Box plot. URL: https://en.wikipedia.org/wiki/Box_plot.
- [4] Анатольев, Станислав (2009) «Непараметрическая регрессия», Квантиль, №7, стр. 37-52.